

تعيين بعض العناصر الكيميائية في بعض الرخويات و الطحالب البحرية باستخدام طريقة التحليل بالتلور بالأشعة السينية

* الدكتور محمد معروف

** الدكتور علي خضر

*** رولا عثمان

(تاریخ الإیادع 27 / 7 / 2009 . قُل للنشر في 30/9/2009)

□ الملخص □

جرت أمثلة تقانة التلور بالأشعة السينية (XRF) لتعيين عدد من العناصر الكيميائية في عينات الرخويات و الطحالب البحرية. استخدم لهذا الغرض ثلاثة أنواع من الأهداف الثانوية لإثارة الأشعة السينية، وهي: Ti لتعيين كل من العنصرين الكيميائيين S و Cl، وهدف الـ Cu لتعيين كل من: K ، Ca، Cr، Mn، والهدف الثانوي من الـ Mo لتعيين كل من: Fe ، Ni، Cu، Zn، As، Rb، Br، Pb. درست صلاحية التحليل بوساطة XRF من خلال تعين عدد من العناصر الكيميائية في العينتين المعياريتين: (BCR) CRM 414 و (NIES) Sargasso No. 9. كانت نتائج تعيين العناصر الكيميائية: S ، Cl، K، Ca، Mn، Cr، Ti، Fe، Rb، Br، Zn، Pb و Rb صحيحة وبخطأ أقل من 10.0 %، بينما كان الخطأ المرتكب في كل من Ni، As، Pb و اقعاً في المجال من 11.5 % إلى 17.4 %. كانت النتائج دقيقة - أيضاً - بانحراف معياري نسبي (RSD) أقل من 9.1 % لكل العناصر المعينة باستثناء Pb، حيث ارتفع RSD إلى 16.9 % بسبب انخفاض التركيز إلى مستوى حد الكشف عن هذا العنصر.

الكلمات المفتاحية: الهدف الثانوي - التلور بالأشعة السينية - الطحالب - الرخويات - صحة الطريقة - دقة الطريقة.

* أستاذ - قسم الكيمياء - كلية العلوم - جامعة تشرين - اللاذقية - سورية .

** باحث رئيس - قسم الكيمياء - هيئة الطاقة الذرية - دمشق - سورية .

*** طالبة دراسات عليا (ماجستير) - قسم الكيمياء - كلية العلوم - جامعة تشرين - اللاذقية - سورية .

Determination of The Elements in Some Marine Mollusks and Algae Using X-Ray Fluorescence Analysis

Dr. Mohamed Marouf *

Dr. Ali Khuder **

Roula Athman ***

(Received 27 / 7 / 2009. Accepted 30/9/2009)

□ ABSTRACT □

X-ray fluorescence technique was optimized for multi-element determinations of some elements in mollusks and algae samples. The elements of S and Cl; K, Ca, Cr, and Mn; Fe, Ni, Cu, Zn, As, Br, Rb, Sr, and Pb were determined using three secondary targets namely Ti, Cu, and Mo, respectively. The validity of the XRF analysis was studied by the determination of the elements in two standard reference materials (SRMs): Plankton CRM 414 (BCR) and Sargasso No. 9 (NIES). However, the results of S, Cl, K, Ca, Ti, Cr, Mn, Fe, Cu, Zn, Br, and Rb determinations were very accurate with errors <10.0 %, while the errors obtained for Ni, As, and Pb were in the range of 11.5 % to 17.4 %. The results were also precise with relative standard deviations (RSD) better than 9.1 % for all elements, except Pb, which its RSD reached to 16.9 % as the result of the concentration decreases to the limit detection level.

Keywords: Secondary targets, X-ray fluorescence, Algae, Mollusks, Precision, Accuracy.

* Professur , Faculty of Sciences, Tishreen University, Lattakia, Syria

** Researcher, Department of Chemistry, Atomic Energy Commission, Damascus, Syria

*** Postgraduate Student , the of Department of chemistry, Faculte of Science, Tishreen University, Lattakia, Syria

مقدمة:

ازداد الاهتمام في السنوات الأخيرة، بتعيين تركيز العناصر الكيميائية في المجالات البيولوجية [1] والطبية [2، 3] والبيئية [4] و الغذائية [5-7]. و استخدم لهذا الغرض عدد من التقانات التحليلية، نذكر منها: التحليل بالتشييط النتروني (NNA) [8]، الامتصاص الذري (AAS) [9-11]، مطيافية الكثافة أو المطيافية الضوئية بالبلازما المستحثة (ICP- MC , ICP- AES) [12، 13]، إصدار الأشعة السينية بالتحريض بالجزيئات (PIXE) والانعكاس الكلي بالتلور بالأشعة السينية (TXRF) [2، 14-16]. إضافةً إلى التقانات السابقة، أظهر التحليل بالتلور بالأشعة السينية (XRF) إمكانية ملحوظة في مجال تعيين عدد من العناصر الكيميائية في العينات البيولوجية والبيئية [17-20]. أسهمت منابع الإشعاع المختلفة، مثلاً: Cd-109 و Am-241، في إثارة طيف الإشعاع السيني. إلا أن تعيين العناصر الكيميائية باستخدام هذا النمط من الإثارة لم يكن مجدياً إلا في تعيين عدد محدود من العناصر الكيميائية: K, Ca, Mn, Fe, Zn في العينات البيولوجية، و ذلك بسبب الضعف النسبي في حساسية هذه التقنية [21]. بينما، أظهرت تقنية XRF لدى ربطها بأنبوبة الأشعة السينية مقدرة أفضل بالمقارنة مع الحالة السابقة (الربط بمنابع الأشعة) التي أدت إلى تعيين عدد أوفر من العناصر الكيميائية والوصول إلى حدود كشف من مرتبة μg/g 1، و ذلك نتيجة مساهمة البرامج الجديدة في الحصول على طيف إشعاع سيني مميز خالٍ من التداخلات، بالإضافة إلى إمكانية إدخال معاملات تصحيح دقة متعلقة بمفعول الكثافة ومعاملات متعلقة بالشوائب الموجودة في أنبوبة الأشعة [22، 23]. بالإضافة إلى إمكانيات السابقة التي تعززت بمساهمة تقنية XRF بالربط بأنبوبة الأشعة السينية، فقد أصبحت هذه التقنية منافسة طرائق التحليل الآلي الأخرى، نتيجة لتطوير عدد من الطرق الكيميائية و استخدامها في مجال التحليل بالتلور بالأشعة السينية. و هكذا، فقد استخدم التركيز المسبق (pre-concentration) لعدد من العناصر الكيميائية لدى التحليل بطريقة XRF. و من بين طرق التركيز المسبق، ذكر طريقة الترميد الجاف، التي اعتبرت كواحدة من الطرائق المهمة في تركيز العناصر الكيميائية في العينات البيولوجية. تعزز نتيجة استخدام الترميد الجاف للتحليل بالـ XRF معامل حدود كشف العناصر الكيميائية في عدد من المواد البيولوجية، مثلاً: تحسين حدود الكشف في النباتات الصنوبرية سبع مرات ليصل حد الكشف إلى 0.2 μg/g لكل من Zn و Cu و Rb و انخفاض حدود الكشف إلى ما دون القيم السابقة لدى تحليل عينات بنسبة رماد أقل، مثلاً عينات خشب الصنوبر و عينات العسل [24].

أهمية البحث وأهدافه:

يهدف هذا العمل إلى تعيين عدد من العناصر الكيميائية في ثلاثة أنواع من الرخويات البحرية، المتمثلة بالمونونتنا (Monodontata) و بالبراكتونتا (Brachidonta) و الباتيلا (Pattela)، و في نوع واحد من الطحالب البحرية الخضراء (Ulva) باستخدام تقانة التلور بالأشعة السينية XRF. وضعت الشروط المثلثة لتعيين هذه العناصر و شروط التشغيل بوساطة XRF ووسع مجال العناصر الكيميائية المعينة باستخدام أهداف ثانوية مختلفة لإثارة الأشعة السينية. برزت أهمية هذا البحث من خلال دراسة صلاحية طريقة تعيين العناصر الكيميائية بوساطة XRF بالاعتماد على عدد من المعاملات الأساسية المستخدمة في تقويم الطرائق التحليلية والمتمثلة بحدود كشف (Limit of detection=LOD) و دقة (Precision) و صحة الطريقة (Accuracy).

طرائق البحث ومواده:

طبقت طريقة التلور بالأشعة السينية XRF المطورة في هذه الدراسة لتعيين خمسة عشر عنصراً كيميائياً في ثلاثة أنواع من الرخويات البحرية (المونودونتا والبراكتدونتا والباتيلا) و في الطحالب الخضراء المجموعة من موقع البحث البحري في محافظة اللاذقية. حيث، استخدم جهاز التلور بالأشعة السينية، الموصول إلى أنبوبة أشعة رونتجن بأنود من الموليبيدينيوم وباستطاعة $W = 2\text{ kW}$. وصلت الأنبوة إلى كاشف (PGTCo.) $\text{Si}(\text{Li})$ بمقدرة فصل V 140 eV مقابل طاقة المنغنيز 5.9 keV.

اختفت شروط التشغيل بحسب نظام إثارة الأشعة السينية، وكانت كالتالي: 6 mA و 5 kV لدى إثارة الأشعة السينية بهدف ثانوي من العنصر Ti و 7 mA و 17 kV لدى إثارة الأشعة السينية بهدف ثانوي من معدن Cu و 5 mA و 45 kV لدى إثارة الأشعة السينية بهدف ثانوي من معدن Mo.

استخدم مجمع أشعة سينية مصنوع من مادة التللون لتجميع الأشعة السينية الأولية والثانوية الصادرة من أنبوبة الأشعة مروراً بالهدف الثانوي والعينة إلى كاشف الأشعة. كانت أبعاد وحدة التجميع كالتالي: 2.3 cm بعد بين نافذة 2.0 cm بعد بين الهدف الثانوي والعينة و 2.3 cm بعد بين الهدف الثانوي والعينة. وأنبوبة الأشعة السينية والهدف الثانوي و العينة .

والكاشف.

غسلت العينات بطرق الترذيز بالماء ثالثي القطير، واستخدم الأسيتون عالي النقاوة (Scharlau Co.,%99.5) لتنظيف العينات. جففت العينات بالمجف: Blue M Co. Island ILLionis USA electric.

استخدمت العينتان المعياريتان (BCR) Sargasso No. 9 (NIES) و Plankton CRM 414 لدراسة صلاحية الطريقة التحليلية.

الاعتيان :

نفذت عملية اعтиان ثلاثة أنواع من الرخويات وهي المونودونتا (Monodonta) و البراكتدونتا (Brachidonta) و الباتيلا (Patella) من موقع البحث البحري في اللاذقية (شمال اللاذقية بحولى 15 كم) بتاريخ 15/3/2007. جمعت الرخويات الآفة الذكر بحجم متوسطة، وذلك لتخفيف تأثير الحجم و عمر الحيوان على التركيز الوسطي للعناصر المعدنية. إذ، كانت أوزان الرخويات المجموعة كما يأتى: 0.2-0.4 غرام و 0.7-1.0 غرام و 0.8-1.0 غرام لكلٍ من البراكتدونتا و الباتيلا و المونودونتا ، على التوالي. حفظت العينات بأكياس من البولي إتيلين للمرحلة الآتية:

جمعت- أيضاً- عينات من نوع الطحالب الخضراء من عمق حوالي 0.5 m و بعد 3 m من شاطئ موقع البحث البحري بأوزان رطبة 9-12 غرام و حفظت كذلك في عبوات من البولي إتيلين.

غسلت الرخويات المجموعة قبل فصل الواقع عن الجسم الرخوي بالماء المقطر باستخدام فرشاة من النايلون، وذلك بهدف إبعاد الرسوبيات والشوائب العالقة. نزعت - بعدها - الفوهة عن الجسم الرخوي لكل عينة. وتمت المحافظة على النسيج الطري المحيط بالجسم الرخوي في أثناء عملية فصل الفوهة في حالتي عينات البراكتدونتا و الباتيلا. غسلت الطحالب الخضراء بعد ذلك بالماء المقطر و وزنت عينات الرخويات و الطحالب قبل عملية التجفيف في المرحلة التالية. جففت الرخويات والطحالب بالدرجة $^{\circ}\text{C} = 85$ لمدة 24 ساعة، ثم وزنت العينات - بهدف- حساب عامل التجفيف. طحنت الرخويات و الطحالب في جرن من العقيق ثم مررت عبر غربال بمسامية $\mu\text{m} = 75$ من

أجل الحصول على عينات ذات تجانس جيد، وتم حفظها في عبوات من البولي إيتيلين بحجم 50 cm^3 .

تحضير العينات للتحليل بطريقة XRF:

استخدمت الطريقة المباشرة لتحليل عينات الرخويات والطحالب الخضراء، وذلك بأخذ 0.10 g من كل عينة، وضعت العينة في حامل من البولي إيتيلين بمساحة سطحية 1.0 cm^2 . غلف أحد جانبي الحامل بورقة مایلر النفود للأشعة السينية، وترك الجانب الآخر من الحامل مفتوحاً.

اعتمدت طريقة الحساسية (ES = Elemental Sensitivity) المطبقة في البرنامج (AXIL [25]) (Analysis of X-ray spectra by Iterative Least squares fitting) لتحليل طيف الأشعة السينية بطريقة أصغر المربعات لتحليل عينات الرخويات و الطحالب باستخدام علاقة الحساسية الآتية:

$$S = \text{counts.abs.fac/time.current.conc}$$

إذ إن: S الحساسية؛ Counts المساحة الصافية للخط المميز؛ abs.fac عامل تصحيح الامتصاصية؛ current التيار المطبق على أنبوبة الأشعة السينية؛ Conc تركيز العنصر المنتج للخط المميز في العينة المعيارية. علماً أن الحساسية تعطى بالعد في وحدة الزمن في واحدة التركيز (cps/ppm).

استخدم عدد من العينات على شكل عناصر كيميائية نقية أو أكاسيد أو أملاح نقية معروفة التركيب الكيميائي بدقة و كانت هذه المواد كالتالي: $\text{S, Se, As}_2\text{O}_3, \text{CoO, Fe, ZnSO}_4, \text{Mn, CuO, Ni, CaCO}_3, \text{KCl, RbCl, SrCO}_3$ بهدف رسم منحنيات الحساسية الممثلة للعلاقة بين الحساسية و العدد الذري للعناصر الكيميائية بخطوط الطيف $\text{K}\alpha$ ، واستخدم عدد آخر من العينات: $\text{BaCl, Gd}_2\text{O}_3, \text{Pb(NO}_3)_2, \text{Nd}_2\text{O}_3, \text{WO}_3$ بهدف الحصول على خطوط الطيف $\text{La}\alpha$.

حددت ثخانة العينات المحلولة بطريقة دراسة نسبة تخدام الأشعة السينية لدى عبورها العينات المحلولة. أخذ عدد من عينات البراكدونتا بأوزان: $g 0.020, 0.040, 0.060, 0.080, 0.100, 0.150, 0.200$ و وضع هذه العينات في الحوامل المعدة لتحليل بوساطة XRF. وضع فوق كل عينة شريحة من النحاس النقي (99.9%) من الجهة غير المعرضة للأشعة السينية. قطعت شرائح النحاس بمساحة سطحية 1.0 cm^2 مناسبة، بحيث توضع بشكل ملائم للعينة المعرضة للإشعاع. عرضت كل عينة من العينات السابقة مع شريحة النحاس للأشعة السينية زمن 100 ثانية و بشروط التشغيل المعدة لتحليل بهدف ثانوي من Mo ، كما عرضت شريحة النحاس بمفردتها للأشعة السينية بالزمن نفسه و الشروط السابقة نفسها. حسبت - بعدئذ - شدة النحاس (cps) لكل عينة باستخدام برنامج AXIL.

عينت العناصر الكيميائية بتطبيق برنامج التحليل الكمي QXAS (Quantitative X-ray Analysis System) بعد معرفة ثخانة العينات. يتطلب هذا البرنامج في حال استخدام عينات متوسطة الثخانة أو عينات لا متباينة الثخانة إدخال تركيز ما يسمى Dark matrix ، الذي يعبر عن "المادة الحاملة" للعناصر غير المرئية بجهاز XRF. حدلت ثخانة كل عينة من العينات المقيدة ثلاثة مرات. اختبرت معايرة نظام التحليل بوساطة بتعيين بعض العناصر الكيميائية في عينتين معياريين من البلانكتون (Plankton-CRM-414) و السرخسيات (Sargasso-No. 9).

النتائج والمناقشة:

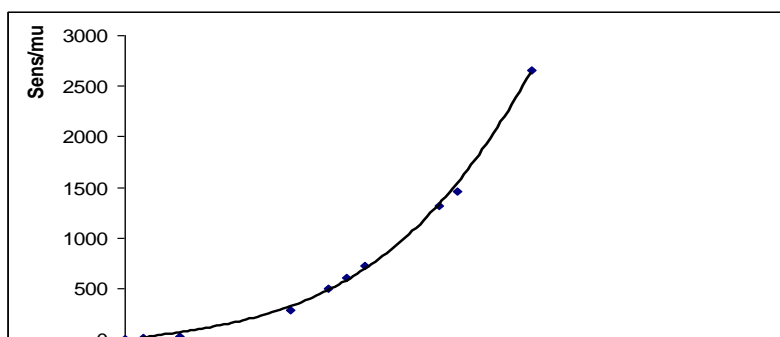
يبين الشكلان 1 و 2 منحني الحساسية (الحساسية/ الكتلة بواحدة الوزن) ($Sens/mu=Sensitivity/mass$) بدالة العدد الذي للعناصر الكيميائية في العينات المعيارية المستخدمة في المعايرة مقابل خطى الطيف per unit)، على الترتيب. اختبرت معايرة نظام التحليل باستخدام طريقة التحليل XRF من خلال تعين عدد من العناصر الكيميائية في عينة البلانكتون (Plankton-CRM-414) و السرخسيات (Sargasso-No. 9) المعياريتين. يبين الشكلان 3 و 4 إمكانية متميزة تجلت في تعين عنصرين كيميائيين خفيين: S و Cl باستخدام هدف ثانوي من المعدن Ti لإثارة الأشعة السينية، و تعين عدد من العناصر المتوسطة، الممثلة بكل من K، Ca، Cr، Mn باستخدام هدف ثانوي من المعدن Cu لإثارة الأشعة السينية، و تعين عدد آخر من العناصر الثقيلة (Fe، Ni، Zn، Cu، As، Rb، Sr، Br، Pb) بطريقـة التحليل XRF المباشرة، و باعتماد طريقة منحني الحساسية، الممثل للعلاقة بين الحساسية و العدد الذري. تم تعين حد الكشف (LOD) باستخدام العلاقة الآتية [3]:

$$LOD = \frac{3}{S} \sqrt{\frac{Ib}{t}}$$

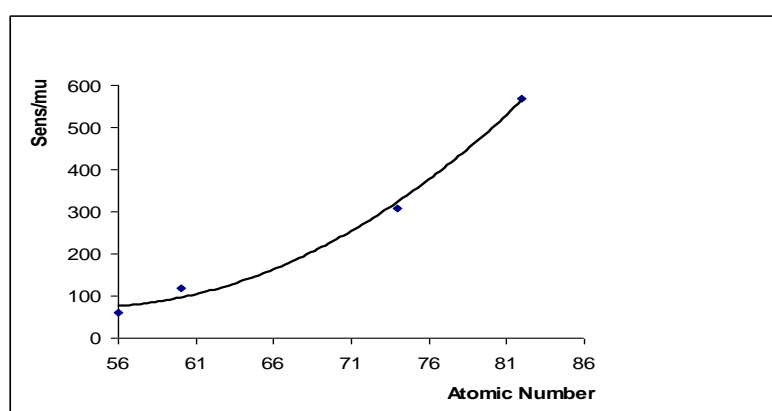
حيث تقدر LOD بالكتلة (أو التركيز) القابلة للكشف و S الحساسية (العد الصافي للذرة في وحدة الزمن في وحدة الكتلة أو وحدة التركيز) وتمثل Ib شدة الخلفية الأساسية للذرة الموافقة للعد في وحدة الزمن و t هو زمن العد.

حسب الدقة (precision) بتعيين الانحراف المعياري النسبي عن القيمة الوسطية المقيسة (%). بينما حسبت الصحة (accuracy) بتعيين الفرق النسبي بين القيمة المقسدة و التركيز المعياري (%).

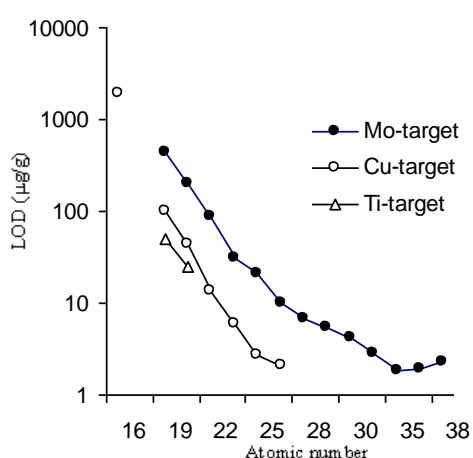
تشير النتائج في الجدول 1 و الجدول 2 إلى تعين تركيز العناصر: S، Cl، K، Ca، Ti، Mn، Fe، Zn، Cu، Br، Rb، Sr في العينتين المعياريتين البلانكتون (Plankton-CRM-414) والسرخسيات (Sargasso- No. 9) بدقة جيدة جداً محسوبة بالخطأ المعياري النسبي وهو أقل من 10.0 %، بينما كان الخطأ المعياري النسبي المرتكب في تحديد تركيز كل من Ni و Pb و As و واقعاً في المجال بين 11.5 % و 17.4 %، وذلك بسبب عدد من العوامل، منها وجود خلفية أساسية (Background) مقابل عنصر النيكل ناجمة عن الشوائب الموجودة في أنبوبة الأشعة السينية، أو عن التداخلات بين العنصرين As و Pb مقابل الطاقة 10.5 keV بفارق أقل من مقدرة فصل الكاشف، إضافة إلى انخفاض التركيز لكل من هذين العنصرين في عينة البلانكتون. كانت النتائج - أيضاً - صحيحة بخطأ نسبي أقل من 9.1 % لكل العناصر المعينة باستثناء العنصر Pb، حيث ارتفع الخطأ النسبي، إلى، 16.9 % بسبب انخفاض التركيز إلى، مستوى حد الكشف لهذا العنصر.



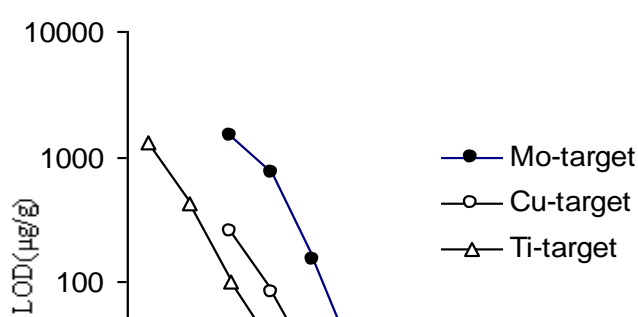
الشكل 1. منحني الحساسية النسبية مقابل خطوط الطيف $K\alpha$ باستخدام هدف ثانوي من الـ Mo. حيث sens الحساسية و mu الكتلة بوحدة الوزن.



الشكل 2. منحني الحساسية النسبية مقابل خطوط الطيف $L\alpha$ باستخدام هدف ثانوي من الـ Mo. حيث sens الحساسية و mu الكتلة بوحدة الوزن.



الشكل 3. تعين حدود الكشف (LOD) في عينة البلانكتون المعيارية باستخدام ثلاثة أهداف من الـ Mo و الـ Cu و الـ Ti. زمن التجارب 1000 ثانية.



الشكل 4. تعيين حدود الكشف (LOD) في عينة السرخسيات المعيارية باستخدام ثلاثة أهداف من الـ Mo و الـ Cu و الـ Ti. زمن التجميع 1000 ثانية.

الجدول 1. تعيين بعض العناصر في عينة البلانكتون Plankton-CRM-414 المعيارية باستخدام أهداف ثانوية من Mo و Cu و Ti للتخلص بالتلور بالأشعة السينية (XRF)

العنصر*	التركيز المقيس*	التركيز الموثق	الدقة (%)	الصحة (%)
	($\mu\text{g/g}$, C \pm SD)	($\mu\text{g/g}$, C \pm SD)	(%)	(%)
S	7238 \pm 628	(6800)	\pm 8.7	+6.4
Cl	5225 \pm 410	a	\pm 7.8	a
K	7326 \pm 311	(7550)	\pm 4.2	-3.0
Ca	67500 \pm 2700	(65000)	\pm 4.0	+3.8
Ti	51.9 \pm 3.2	(48)	\pm 6.2	+8.1
Cr	24.6 \pm 1.4	23.9 \pm 1.2	\pm 5.7	+2.9
Mn	291 \pm 9	299 \pm 12	\pm 3.1	-2.7
Fe	1863 \pm 137	(1850)	\pm 7.4	+0.7
Ni	19.1 \pm 3.3	18.8 \pm 0.8	\pm 17.3	+1.6
Cu	30.1 \pm 1.8	29.5 \pm 1.3	\pm 6.0	+2.0
Zn	113 \pm 2	112 \pm 3	\pm 1.8	+0.9
As	6.52 \pm 0.75	6.82 \pm 0.28	\pm 11.5	-4.4
Se	^b <2.00	1.75 \pm 0.10	nd ^c	nd ^c
Br	56.5 \pm 4.0	(55)	\pm 7.1	+2.7
Rb	11.8 \pm 0.8	(11.6)	\pm 6.8	+1.7
Sr	258 \pm 4	(261)	\pm 1.6	-1.1
Pb	3.30 \pm 0.50	3.97 \pm 0.19	\pm 15.2	-16.9

عين الـ S و Cl باستخدام الـ Ti كهدف ثانوي، و الـ K، Ca، Cr، Ti، Mn باستخدام الـ Cu كهدف ثانوي، و الـ Fe، Ni، Cu، Se، As، Zn، Rb، Br، Sr، Pb باستخدام الـ Mo كهدف ثانوي. * عين التركيز المقيس C بالقيمة الوسطية مقابل تكرارية ثلاث

مرات و بانحراف معياري SD . المعطيات بين قوسين عبارة عن تراكيز مرجعية. a: تركيز مرجعي غير متوفّر، b تركيز مقيّس أقل من حد الكشف (أنظر الشكل 3)، c غير معين باعتبار التركيز المقيّس أقل من حد الكشف.

الجدول 2. تعين بعض العناصر في عينة السرخسيات المعيارية Sargasso-No. 9 باستخدام

أهداف ثانوية من Mo و Cu و Ti للتخليل بالتفلور بالأشعة السينية (XRF)

العنصر *	التركيز * المقيّس*	التركيز الموثق C±SD	الدقة (%)	الصحة (%)
(μg/g)	(μg/g)	(μg/g)	(%)	(%)
S	11800±800	(12000)	±6.8	-1.7
Cl	46400±2400	(51000)	±5.2	-9.0
K	59900±2300	61000±2000	±3.8	-1.8
Ca	14600±600	13400±500	±4.1	+8.1
Ti	8.28±0.69	(9)	±8.3	-8.0
Cr	<5.98 ^b	(0.2)	nd ^c	nd ^c
Mn	22.2±2.2	21.2±1.0	±9.9	+4.7
Fe	197±10	187±6	±5.1	+5.3
Ni	7.60±1.24	a	±16.3	nd ^c
Cu	4.71±0.33	4.9±0.2	±7.0	-3.9
Zn	16.6±1.1	15.6±1.2	±6.6	+6.4
As	113±8	115±9	±7.1	-1.7
Se	<2.00 ^b	(0.05)	nd ^c	nd ^c
Br	263±22	(270)	±8.4	-2.6
Rb	23.1±1.7	24±2	±7.4	-3.7
Sr	945±60	1000±30	±6.3	-5.5
Pb	<2.00 ^b	1.35±0.05	nd ^c	nd ^c

* عين الـ S و Cl باستخدام الـ Ti كهدف ثانوي، والـ K، Ca، Cr، Ti، Mn، Cu، Ni، Fe، As، Zn، Rb، Br، Se، Sr، Pb باستخدام الـ Mo كهدف ثانوي. ** عين التركيز المقيّس C بالقيمة الوسطية مقابل تكرارية ثلاث مرات و بانحراف معياري SD . المعطيات بين قوسين عبارة عن تراكيز مرجعية. a: تركيز مرجعي غير متوفّر، b تركيز مقيّس أقل من حد الكشف (أنظر الشكل 4)، c غير معين باعتبار التركيز المقيّس أقل من حد الكشف.

عَيْن عدد من العناصر الكيميائية في الرخويات البحرية: المونودonta و البراكدونتا (بلح البحر) والبانيلا والطحالب البحرية الخضراء، التي أخذت من موقع البحوث البحرية باستخدام الشروط والإجراءات التجريبية المبنية سابقاً اللازمة لتحضير العينات وتحليلها بالـ XRF.

تشير نتائج الجدول 3 إلى تعين التركيز الوسطي لثلاثة مكررات و مجال التركيز و متوسط التركيز بمجال ثقة (Confidence interval) 95 % للرخويات البحرية و الطحالب البحرية الخضراء.

تبين نتائج التحليل المدرجة في الجدول المذكور أعلاه أن التركيز الأدنى للكبريت هو التركيز المتمثل في نوع البراكدونتا (بلح البحر) وأن الفارق بينه وبين مجال تركيز هذا العنصر في النوعين الآخرين من الرخويات هو فارق معنوي ملحوظ. كما تشير النتائج المذكورة إلى أن التركيز المتوسط للكبريت (4171 μg/g) في الطحالب الخضراء

يتفوق تركيزه المتوسط في أي من الرخويات المدروسة. وهذا ما يشير إلى إمكانية انتقال الكبريت عبر السلسلة الغذائية إلى الرخويات عن طريق الطحالب الخضراء التي بدورها تقوم بتركيزه في داخلها. يتضح من خلال نتائج تعيين الكلور إلى وجود فروق معنوية في تركيز هذا العنصر في الرخويات المدروسة، وأن محتوى الكلور في الطحالب بلغ تركيزاً متوسطاً ($\mu\text{g/g}$ 8148)، وهذا التركيز يزيد عن أي من التراكيز المتوسطة للكلور داخل الرخويات نفسها، مما يشير إلى إمكانية انتقال الكلور - أيضاً - عبر السلسلة الغذائية من الطحالب الخضاء إلى الرخويات.

تشير النتائج إلى انخفاض تركيز البوتاسيوم في البراكدونتا بفارق معنوية عن مجال تركيزه في النوعين الآخرين من الرخويات المدروسة. بالإضافة إلى انخفاض معنوي لمجال تركيز البوتاسيوم في الطحالب الخضراء (1060-1598 $\mu\text{g/g}$) مقارنةً مع مجال تركيزه في الرخويات ، مما يشير إلى عدم اعتماد الرخويات المدروسة في امتصاص البوتاسيوم من الطحالب الخضراء الموجودة في محطيها. بينت النتائج أيضاً أن مجال تركيز الكالسيوم في الطحالب (1260-850 $\mu\text{g/g}$) كان أقل من مجال تركيز هذا العنصر في الرخويات المدروسة (2980-1278 $\mu\text{g/g}$)، مما يشير كما هو الحال بالنسبة للبوتاسيوم - إلى عدم اعتماد الرخويات المدروسة في امتصاصها للكالسيوم على الطحالب الخضراء الموجودة في محطيها. كذلك فقد أشارت النتائج إلى التوجه نفسه بالنسبة إلى التيتانيوم مقارنة مع عنصري الكالسيوم و البوتاسيوم. إذ، كان مجال تركيز هذا العنصر في الرخويات المدروسة ($\mu\text{g/g}$ 75.3-40.5) وهو يزيد قليلاً عن مجال تركيز التيتانيوم في الطحالب الخضراء 55.1-48.3 $\mu\text{g/g}$. تؤكد هذه النتائج أن الطحالب الخضراء ليست الوسط المناسب لتعذية الرخويات من نوع البراكدونتا والمونودونتا والباتيلا بالعناصر الأساسية القلوية و شبه القلوية، مثلًا: K و Ca و Ti.

للحظ أيضاً تعيين المنغنيز في الطحالب الخضراء بتركيز أقل من حد كشف الطريقة (أقل من $\mu\text{g/g}$ 2.00). كما أظهرت نتائج تعيين التركيز الوسطي للمنغنيز في موقع البحوث البحرية في سوريا ($\mu\text{g/g}$ 6.95 ± 1.36) انخفاضاً نسبياً بالمقارنة بالقيم المنشورة لبعض المواقع العالمية الملوثة، كتركيزه في بعض المواقع البحرية الملوثة في اليونان: ($\mu\text{g/g}$ 7.6 ± 36.4) [26].

أما الحديد فقد عين بتركيز متوسط مرتفع نسبياً في الباتيلا ($\mu\text{g/g}$ 2405)، بالمقارنة مع التركيز المتوسط لهذا العنصر في المونودونتا ($\mu\text{g/g}$ 441) و البراكدونتا ($\mu\text{g/g}$ 350)، ومع تركيزه في الطحالب الخضراء ($\mu\text{g/g}$ 409). ويتبين من خلال نتائج المقارنة بين تركيز الحديد الوسطي في المونودونتا في موقع البحوث البحرية في سوريا ($\mu\text{g/g}$ 8 ± 439)، وبعض المواقع البحرية في اليونان ($\mu\text{g/g}$ 216.6 ± 669.3) تقاربًا واضحًا مع عدم وجود اختلاف نوعي. إذ، يمكن أن يعود الارتفاع النسبي لتركيز الحديد في المونودونتا في الشواطئ اليونانية إلى التلوث الخارجي في هذه المواقع. بينما تشير النتائج المنشورة مؤخرًا [27]، و التي شملت عينات من الباتيلا في شواطئ مدينة الإسكندرية في لواء الإسكندرية إلى اعتبار الحديد من أكثر العناصر النقلية التي يمكن أن تتركز في الباتيلا، و هذا يتوافق مع النتائج الحاصلة لدينا في هذا العمل.

اتصف مجال تركيز النيكل بأنه ضيق في كلٍ من الرخويات الثلاث، حيث كان ضمن المجال الوسطي للنيكل في المونودونتا في موقع البحوث البحرية في سوريا ($\mu\text{g/g}$ 4.51-5.84)، وكذلك في الطحالب الخضراء ($\mu\text{g/g}$ 10.7-9). وقد وجد تقارب ملحوظ بين التركيز الوسطي للنيكل في المونودونتا في موقع البحوث البحرية في سوريا ($\mu\text{g/g}$ 0.9 ± 10.3) و التراكيز المنشورة لهذا العنصر في المونودونتا في بعض المواقع البحرية في اليونان: ($\mu\text{g/g}$ 0.2 ± 12.0) [26].

عين النحاس في كلّ من المونودنتا و البراكدونتا و الباتيلا بتركيز متوسط $43.0 \text{ }\mu\text{g/g}$ و $39.2 \text{ }\mu\text{g/g}$ و $16.5 \text{ }\mu\text{g/g}$ ، على التوالي. إذ، وجدت فروق معنوية في مجال تركيز هذا العنصر في الرخويات السابقة بزيادة طردية من الباتيلا إلى البراكدونتا إلى المونودنتا ، وعين النحاس في الطحالب البحرية بتركيز كان دون حدود الكشف (أقل من $4.8 \text{ }\mu\text{g/g}$)، و انخفض قليلاً التركيز الوسطي للنحاس ($2.7 \pm 47.8 \text{ }\mu\text{g/g}$) في المونودنتا في موقع البحث البحرية في سوريا عما هو في مناطق حوض البحر الأبيض المتوسط [28]: فهو في بعض المواقع البحرية في الشواطئ الإيطالية ($20.1 \pm 61.1 \text{ }\mu\text{g/g}$). أما التركيز الوسطي لهذا العنصر في الباتيلا في موقع البحث البحرية في سوريا ($6.9 \pm 18.4 \text{ }\mu\text{g/g}$) فكان مماثلاً لما هو في الأماكن السابقة نفسها (الشواطئ الإيطالية): $14.3 \pm 4.9 \text{ }\mu\text{g/g}$. أما، بالنسبة للطحالب البحرية فقد انخفض التركيز الوسطي للنحاس في مواقع البحث البحرية في سوريا قليلاً (أقل من $4.8 \text{ }\mu\text{g/g}$) عما هو في الشواطئ الإيطالية ($1.1 \pm 5.8 \text{ }\mu\text{g/g}$). ومن الممكن أن يزداد تركيز النحاس ويبلغ حدوداً أعلى مما هو مبين سابقاً، و ذلك تبعاً للمواقع المدروسة و حسب مصادر التلوث التي تصب في مياه البحر [27]، إذ لوحظ في بعض المواقع البحرية الملوثة في اليونان أن المونودنتا يمكن أن تحوي تركيز من النحاس تصل إلى $109.1 \pm 15.0 \text{ }\mu\text{g/g}$. لذا، يمكننا أن نتوقع تركيز النحاس في بعض الحيوانات البحرية بكثيات أكبر من الكميات المطلوبة للغذاء اليومي، للإنسان.

كانت التراكيز المتوسطة للزنك معنوية الفروق داخل الرخويات، وكان تركيزه المتوسط في الطحالب البحرية الخضراء منخفضاً نسبياً، حيث بلغ $10.2 \text{ ميكروغرام}/\text{غرام}$. كما لوحظ انخفاض التركيز الوسطي للزنك في المونودنتا ($\mu\text{g/g}$) و الباتيلا ($2.5 \pm 57.2 \text{ } \mu\text{g/g}$) و الطحالب الخضراء ($0.8 \pm 10.2 \text{ } \mu\text{g/g}$) في موقع البحوث البحرية في سوريا بالمقارنة مع بعض مواقع في شواطئ البحر الأبيض المتوسط الأخرى، نذكر على سبيل المثال: بعض الشواطئ الإيطالية [22]: المونودنتا ($23 \pm 98 \text{ } \mu\text{g/g}$) و الباتيلا ($18 \pm 100.8 \text{ } \mu\text{g/g}$) والطحالب الخضراء ($12 \pm 45 \text{ } \mu\text{g/g}$). إضافة لذلك، لم يتأثر تركيز الزنك في المونودنتا المجمعة من مناطق ملوثة على الشواطئ اليونانية، وكان التركيز الوسطي $9.1 \pm 65.8 \text{ } \mu\text{g/g}$. [27]

عين البروم في المونودنتا بتركيز متوسط مرتفعاً نسبياً (806 $\mu\text{g/g}$) بالمقارنة مع التركيز المتوسط لهذا العنصر في البراكدونتا (292 $\mu\text{g/g}$) و في الباتيلا (526 $\mu\text{g/g}$), بينما عين البروم في الطحالب الخضراء بتركيز متوسط (305 $\mu\text{g/g}$). مما يشير إلى كون المونودنتا من أكثر الرخويات المدروسة تركيزاً لعنصر البروم.

انخفاض التركيز المتوسط للروبيديوم في البراكدونتا (3.22 $\mu\text{g/g}$) بالمقارنة مع التركيز المتوسط لهذا العنصر في المونودنتا (0) و الباتيلا (13.0 $\mu\text{g/g}$). و عين الروبيديوم في الطحالب الخضراء بتركيز متوسط (9.65 $\mu\text{g/g}$).

وقد نال عنصر السترانسيوم اهتماماً إضافياً من أجل تحديد تركيزه المتوسط في الروحيات الثلاث، وفي الطحالب الخضراء. فكانت تراكيز هذا العنصر مقاربة في المونودننا الباينيلا والطحالب الخضراء، وكانت تراكيز هذا العنصر مقاربة بين المونودننا والطحالب الخضراء ($100 \text{ }\mu\text{g/g}$ تقريباً).

تم أخيراً تعين محتوى الرصاص في كلّ من المونودنتا و البراكدونتا و الباتيلا، فكانت تركيزه المتوسط أقل من حدود الكشف للطريقة (أقل من $2 \mu\text{g/g}$) و كان تركيز هذا العنصر في الطحالب البحرية - أيضاً - أقل من حدود الكشف السابقة. إذ، تؤكد هذه النتيجة محدودية امتصاص كلّ من الرخويات المدروسة و الطحالب الخضراء لعنصر الرصاص في موقع البحث البحرية في سوريا. بالمقابل، كان تركيز الرصاص الوسطي في المونودنتا و الباتيلا و الطحالب الخضراء في بعض المواقع البحرية الإيطالية، على التوالي [28]: $0.16 \pm 0.58 \mu\text{g/g}$ و $0.95 \pm 0.19 \mu\text{g/g}$ و $1.94 \pm 0.38 \mu\text{g/g}$. كما، تشير المعطيات المنشورة حول محتوى الرصاص في البراكدونتا في بعض المواقع البحرية في لبنان و فرنسا و أمريكا إلى التراكيز الوسطية الآتية: $0.97 \pm 1.64 \mu\text{g/g}$ و $1.9 \mu\text{g/g}$ و $2.7 \mu\text{g/g}$ ، على التوالي [32].

**الجدول 3. تعيين بعض العناصر الكيميائية بتقنية XRF^a في بعض أنواع الرخويات و الطحالب
في موقع البحوث البحرية/اللاذقية. - نيسان/2007**

العينة	العنصر	التركيز الوسطي، ($\mu\text{g/g}$)	مجال التركيز، ($\mu\text{g/g}$)	المتوسط Median ($\mu\text{g/g}$)
Monodonta (<i>M. turbinata</i>)	S	1818±182	1650-2012	1791
	Cl	2173±203	1961-2365	2193
	K	6228±320	5955-6580	6150
	Ca	1462±188	1278-1653	1455
	Ti	48.7±2.4	46.5-51.2	48.4
	Mn	6.95±1.36	6.01-8.51	6.32
	Fe	439±8	430-445	441
	Ni	10.3±0.9	9-10.7	10.4
	Cu	47.8±2.7	45-50	49
	Zn	48.4±0.5	48-49	48.3
	As	3.3±0.2	1.10-3.50	3.01
	Br	772±62	700-810	806
	Rb	13.1±0.8	12.4-14	13
	Sr	102±4	99-107	100
Brachidonta (<i>B. variabilis</i>)	Pb	<2	<2	<2
	S	1340±193	1136-1520	1363
	Cl	5283±316	4980-5610	5259

3867	3584-3950	3800±192	K
2578	2156-2780	2485±313	Ca
44.5	40.5-56.2	47.1±8.2	Ti
<2	<2	<2	Mn
350	340-370	353±15	Fe
15.1	15-15.4	15±0.2	Ni
39.2	38.5-41	40±1.29	Cu
99.5	89.1-100	96±6.15	Zn
1.2	0.42-1.60	1.3±0.3	As
292	280-303	292±12	Br
252	184-270	259±23	Sr
3.22	3.05-4.04	3.63±0.61	Rb ^o
<2	<2	<2	Pb
2166	1847-2451	2155±302	S
4035	3870-4215	4040±173	Cl
6151	5847-6499	6166±326	K
2784	2411-2980	2725±289	Ca
72.5	68.7-75.3	35.9±3.3	Ti
3.62	3.01-3.98	3.54±0.5	Mn
2405	2366-2457	2409±46	Fe
20	20-23	22±1.5	Ni
16.5	4.6-32.2	18.4±6.9	Cu
57	55-60	57.2±2.5	Zn
2.3	1.2-3.03	2.81±0.14	As
526	522-530	526±4	Br
12.6	12-13.1	12.6±0.6	Rb
254	253-254	254±1	Sr
<2	<2	<2	Pb
4171	3840-4354	4122±261	S
8142	7840-8210	8064±197	Cl
1204	1060-1598	1287±279	K
1004	850-1260	1038±207	Ca
50.2	48.3-55.1	51.2±3.5	Ti
<2	<2	<2	Mn
409	380-450	413±35	Fe
5.32	4.51-5.84	4.42±0.7	Ni
<4.8	<4.8	<4.8	Cu
10.2	9.5-11	10.2±0.8	Zn
3.38	2.84-3.44	3.22±0.33	As
9.65	9.45-9.89	9.78±0.37	Rb
305	290-325	307±18	Br
111	108-123	114±8	Sr
<2	<2	<2	Pb

Patella
(P. caerulea)

Algae
(U.Ulva)

استخدم هدف ثانوي من الـ Mo لتعيين: Fe, Ni, Cu, Zn, As, Rb, Br, Sr, Pb و هدف ثانوي من الـ Cu لتعيين: Ti, Mn و Brachidonta عدد المكررات: 3، كان الوزن الرطب/الوزن الجاف لكل من Monodonta و Algae و Patella على التوالي.
هدف من الـ Ti لتعيين: S, Cl, K, Ca و 0.55±6.00·0.52 ±4.00·0.42 ±3.87·0.50 ±3.70.

الاستنتاجات والتوصيات:

استطعنا من خلال تطبيق طريقة النفلور بأشعة-X المطورة تعيين خمسة عشر عنصراً كيميائياً في ثلاثة أنواع من الرخويات وهي: الباتيلا و المونودننا و البراكدونتا وفي الطحالب الخضراء (Ulva) المجمعة من موقع البحث البحري في محافظة اللاذقية. بينت نتائج التحليل انخفاض تركيز بعض العناصر (Mn,Fe,Cu,Zn) في الرخويات الموجودة في موقع البحث البحري من الشاطئ السوري مقارنة مع تركيزها في رخويات مماثلة على موقع بحرية دولية أخرى من شاطئ البحر الأبيض المتوسط. لذا، يمكن الأخذ بالحسبان أن مياه موقع البحث البحري الموجودة على شاطئ اللاذقية غير ملوثة بالمخلفات ذات المنشأ الصناعي أو بالمخلفات المنقوله إليه بفعل النشاط الإنساني أو العوامل البيئية المختلفة.

لابد من الإشارة إلى أن استخدام الطريقة المباشرة في التحليل بوساطة نفلور الأشعة السينية XRF في تحديد تركيز خمسة عشر عنصراً كيميائياً في عينات من الكائنات البحريه (رخويات، طحالب) هي طريقة بسيطة، رخيصة الثمن، تتمتع بدقة وصحة تحليل جيدتين، وهي التي مكنتنا من تعين تركيز عدد من العناصر الخفيفة Fe,Ni, Cu ,Zn ,As والمتوسطة (S , Cl) (Mn, Cr, Ca, K) وعد آخر من العناصر الانتقالية والعناصر الثقيلة (Mo, Cu, Ti) من أجل تعين محمول العناصر الكيميائية السابقة. إلا أن هذه النتيجة الإيجابية التي خصت جزءاً من الشاطئ السوري، والتي أظهرت عدم تعرضه للثلوث الواضح بالملوثات المعدنية السامة، يجب ألا تقلل من اهتمام الباحثين السوريين بمياه البحر عند الواقع كافة، وألا تثنّيهم عن الاستمرار في المراقبة التحليلية لهذه العناصر، والسعى لامتلاك أحدث التقانات لإنجاز ذلك. إن مركز هيئة الطاقة الذرية بدمشق قد تميز عن غيره من المراكز العلمية في تطوير كواهده ومخابرها من خلال العمل الدؤوب والمتابعة العلمية .

لذا يجب علينا أن نقدم كلمة شكر إلى كل من السيد الدكتور إبراهيم عثمان المدير العام لهيئة الطاقة الذرية السورية لما قدمه من دعم واهتمام شديدين لهذا العمل. وكل الشكر والتقدير للسيد الدكتور توفيق ياسين رئيس قسم الكيمياء في الهيئة لمشاركته وتوجيهاته القيمة بشأن نتائج البحث الذي أنجز داخل هيئة الطاقة الذرية وبالتعاون مع قسم الكيمياء في جامعة تشرين.

المراجع:

- [1] MARCO, L.M.; HERNANDEZ-CARABALLO, E.A., *Direct analysis of biological samples by total reflection X-ray fluorescence*, Spectrochim. Acta Part B 59, 2004, 1077-1090.
- [2] MAJEWSKA, U.; BRAZIEWICZ, J.; BANAS KUBALA-KUKUS, D. A.; GOZDZ, S.; PAJEK, M.; ZADROZNA, M.; JASKOLA, M.; & CZYZEWS, T. I; *Some aspects of statistical distribution of trace element concentrations in biomedical samples*, Nucl. Instrum. Methods in Phys, Res. Sect, B 150, 1999, 254-259.
- [3] KHUDER, A.; BAKIR, M.A.; KARJOU, J.; & SAWAN, M. Kh; *XRF and TXRF techniques for multi-element determination of trace elements in whole blood and human hair samples*, J. Radioanal, Nucl. Chem., 273, 2007, 435-442.
- [4] FERRREIRA R.; BOHLEN, A. , *Elemental analysis of environmental samples by total reflection X-ray fluorescence, a review*, X-ray spectrom, 25, 1996, 156-162.

- [5] KLOCKENKAEMPER, M.; FREITAS, C.; PACHECO, A.M.G; FERRREIRA, E.; *Nutrients and other elements in honey from Azores and mainland*. Portugal, J. Radioanal Nucl. Chem., 270,2006, 123-130.
- [6] BAO, S.X.; WANG, Z.H.; LIU, J.S.; *X-ray fluorescence analysis of trace elements in fruit juice*, Spectrochim Acta Part B, 54, 1999, 1893-1897.
- [7] WAGNER, A.; BOMAN, J.; *Biomonitoring of trace elements in muscle and liver tissue of freshwater fish*, Spectrochim. Acta Part, B. 58, 2003, 2215-2226.
- [8] MAJID, A.A.; SARMANI,S.Y.; WEI , K.; HAMZAH, YUSOFF, F. N. *Trace elements in Malaysian medicinal plants*, J. Radioanal. Nucl. Chem., 195, 1995, 173-183.
- [9] ÖZDEMİR,Y.; GÜÇER \$.; *Speciation of manganese in tea leaves and tea infusions*, Food Chem. 61, 1998, 313-317.
- [10] TAŞCIOĞLU,S.; KÖK, E.; *Temperature dependence of copper, iron, nickel, and chromium transfers into various black and green tea infusions*, J. Sci. Food, Agric, 76, 1998, 200-208.
- [11] PRASAD, R. G.; BHARGAVA, R. M.; *Effect of weather conditions on concentration of calcium, manganese, zinc, copper and iron in green tea (Camellia sinesis (L) O Kuntze) leaves of north-western India*, J. Sci. Food, Agric, 67, 1995 , 341.
- [12] MATSUURA, H.; HOKURA, A.; KATSUKI, F; ITOH, A.; HARAGUCHI, H.; *Multielement determination and speciation of major-to-trace elements in black tea leaves by ICP-AES and ICP-MS with the aid of size exclusion chromatography*, Anal. Sci., 17, 2001, 391-398.
- [13] ANDERSON, K.A.; SMITH, B.W.; *Chemical profiling to differentiate geographical growing origins of coffee*, J. Agric. Food Chem., 50, 2002, 2068-2075.
- [14] ADEBIYI, F.M.; AKPAN, I.; OBIAJUNWA, E.I.; OLANIYI, H.B.; *Chemical/physical characterization of Nigerian Honey*. Pakistan, Journal of Nutrition, 3, 2004, 278-281.
- [15] BRAZIEWICZ, J.; FIJAL, I.; CZYZEWSKI, T.; JASKOLA, M.; KORMAN,A.; BANAS,D.; KUBALA-KUKUS, A.; MAJEWSKA, U.; ZEMLO, L.; *PIXE and XRF analysis of honey samples*, Nucl. Instrum. Methods in Phys. Res, Sect., B ,187, 2002, 231-237.
- [16] MARCHINI, G. L. C.; ZUCCHI, O.L.A.D.; FILHO, V.F.N.; OTSUK, I.P ; MORETI, A.C., *de Camargo Carmello Moreti, Determination of chemical elements in Africanized Apis mellifera (Hymenoptera: Apidae) honey samples from the state of Piaui, Brazil*, Quim. Nova, 30 ,2007, 920-924.
- [17] BUMBALOVA, E. A.; HARANGOZO, M.; *Contribution to the radionuclide X-ray fluorescence analysis of human blood and plasma*, J. Radioanal. Nucl. Chem., Letters, 104, 1986, 223-230.
- [18] MARQUES, M.I. CARVALHO, M.L.; OBLAD, M.; AMORIM, P. ; RAMOS, M.T.; *ENERGY-dispersive XRF analysis of trace elements in Nerium oleander for pollution monitoring*, X-Ray Spectrom., 22,1993, 244-247.
- [19] WAMWANGI,D.M. ; RATHORE, I.V.; KATIA, S.K ; MANGALA, M.J.; *Trace element analyses of pollen, bee tissue and honey by total reflection and radioisotope excited X-ray fluorescence spectrometry*, J. Trace Microprobe Tech., 18, 2000, 303-310.
- [20] KUMP, P.; NECEMER,M.; SNAJDER, J.; *Determination of trace elements in bee honey, pollen and tissue by total-reflection and radioisotope X-ray fluorescence spectrometry*, Spectrochim. Acta Part B, 51, 1996, 499-507.

- [21] IVANOVA, Ju.; DJINGOVA, R.; KULEFF, I.; *Possibilities of ED-XRF with radionuclide sources for analysis of plants*, J. Radioanal. Nucl. Chem. 242 ,1999, 569–575.
- [22] KLOCKENKÄMPER, R.; BOHLEN, A.; *Elemental analysis of environmental samples by total reflection X-ray fluorescence: a review*, X-Ray Spectrom. 25 ,1996, 156–162.
- [23] MARQUES, M.I.; CARVALHO, M.L.; OBLAD, M.; AMORIM, P.; RAMOS, M.T.; *ENERGY-dispersive XRF analysis of trace elements in Nerium oleander for pollution monitoring*, X-Ray Spectrom. 22 ,1993, 244–247.
- [24] LILL, J.O.; HARJU,L.; SAARELA,K.E.; LINDROOS,A.; HESELIUS,S.J. *Increased sensitivity in thick-target particle induced X-ray emission analyses using dry ashing for preconcentration*, Anal. Chim. Acta, 378, 1999, 273-278.
- [25] IAEA, Quantitative X-ray analysis system, QXAS, Doc. Version 2.0, 2005.
- [26] NICOLAIDOU, A., *Heavy metal pollution induced by a ferro-nickel smelting plant in Greece*, The Science of the Total Environment, 84, 1989, 113-117.
- [27] YÜZEREROĞLU TA, GÖK G, COĞUN HY, FIRAT O, ASLANYAVRUSU S, MARULDALI O, KARGIN F., *Heavy metals in Patella caerulea (Mollusca, Gastropoda) in polluted and non-polluted areas from the Iskenderun Gulf (Mediterranean Turkey)*, Environ. Monit. Assess. 2009, (In Press).
- [28] CONTI, M.E. ; CECCHETTI, G. A.; *biomonitoring study: trace metals in algae and mollusks from Tyrrhenian coastal areas*, Environmental Research, 93, , 2003, 99-112.
- [29] EPA, *Technical Summary of Information Available on the Bioaccumulation of Arsenic in Aquatic Organisms*, Office of Science and Technology Office of Water U.S. Environmental Protection Agency Washington, DC 20460, 2003, <http://www.epa.gov/waterscience/humanhealth/>.
- [30] CLELAND, B.; TSUCHIYA, A.; D. KALMAN, ; DILLS, A. R.; BURBACHER, T. M.; White, J. W.; FAUSTMAN, E. M.; MARIËN, K., *Arsenic Exposure Within the Korean Community (U.S.) Based on Dietary Behavior and As Levels in Hair, Urine, Air and Water*, <http://dx.doi.org/>.
- [31] SAINT-LOUIS,R.; TITA,G.; PELLETIER, P.; *Arsenic speciation in seafood: algae, sea urchin and mollusks*, www.ismer.ca
- [32] NAKHLÉ, F.K.; COSSA,D.; KHALAF ,G.; BELIAEFF, B.; *Brachidontes variabilis and Patella sp. as quantitative biological indicators for cadmium, lead and mercury in the Lebanese coastal waters*, Environmental Pollution, 142 ,2006, 73-82.